

واکاوی روند گستره متاثر از تغییر اقلیم در ایران طی دهه‌های اخیر

فاطمه رعیت پیشه - دانش آموخته دکتری دانشگاه اصفهان، دانشکده علوم جغرافیا و برنامه ریزی، گروه جغرافیای طبیعی
سید ابوالفضل مسعودیان^۱ - استاد، دانشگاه اصفهان، دانشکده علوم جغرافیا و برنامه ریزی، گروه جغرافیای طبیعی

تاریخ دریافت: ۱۳۹۳/۱۱/۲۷ تاریخ تصویب: ۱۳۹۳/۱۱/۲۹

چکیده

در دهه‌های اخیر شواهد روشنی از افزایش دما در مقیاس سیاره‌ای و منطقه‌ای وجود دارد. این شواهد نشانگر جابه جایی یا ایز بین رفت نواحی آب و هوایی به دلیل تغییرات آب و هوایی است که همواره بستری برای پرسش‌های بی شماری پیرامون چگونگی سازگاری انسان با این تغییرات ایجاد می‌کند. در این پژوهش برای واکاوی مساحت متاثر از تغییر آب و هوایی نمایه‌ای با عنوان نمایه‌ی مساحتی (AI)، بر مبنای دمای کمینه، بیشینه و میانگین معرفی و تغییرات زمانی آن طی سال‌های اخیر واکاوی شده است. برونداد این پژوهش نشان داد که این نمایه به طور متوسط با مقدار $0^{\circ}/54^{\circ}$ در سال در حال افزایش است. افزون بر این، افزایش میزان این نمایه بر مبنای دمای کمینه بیش از دمای بیشینه است.

کلیدواژه‌ها: ایران، دما، تغییر آب و هوایی، مساحت، روند.

۱. مقدمه

مسئله‌ی تغییر آب و هوای دامنه‌ی گستره‌های از پرسش‌ها در مورد چگونگی تاثیرگذاری این گونه تغییرات و سازواری انسان با تغییرات به همراه داشته است. این نیاز همواره روندی رو به رشد برای دریافت اطلاعات کاربردی پیرامون اثرات تغییر آب و هوای مختلف سیاره و کانون‌های گوناگون زندگی انسان داشته است. متوسط دمای نیمکره‌ی شمالی طی نیمه‌ی دوم سده‌ی بیستم با ضریب احتمال بسیار زیادی (بیش از 90° درصد ضریب اطمینان) بالاتر از هر دوره‌ی 50° ساله در 500° سال اخیر و با ضریب اطمینان بیش از 66° درصد بالاترین مقدار، حد اقل در 1300° سال گذشته بوده است (Jones&etal;2009,3). همزمان با تغییرات آب و هوایی در این سده، چیدمان شرایط آب و هوایی در این سده نیز تغییر خواهد یافت، برخی نواحی آب و هوایی به طور کلی از بین خواهد رفت، و انتظار می‌رود

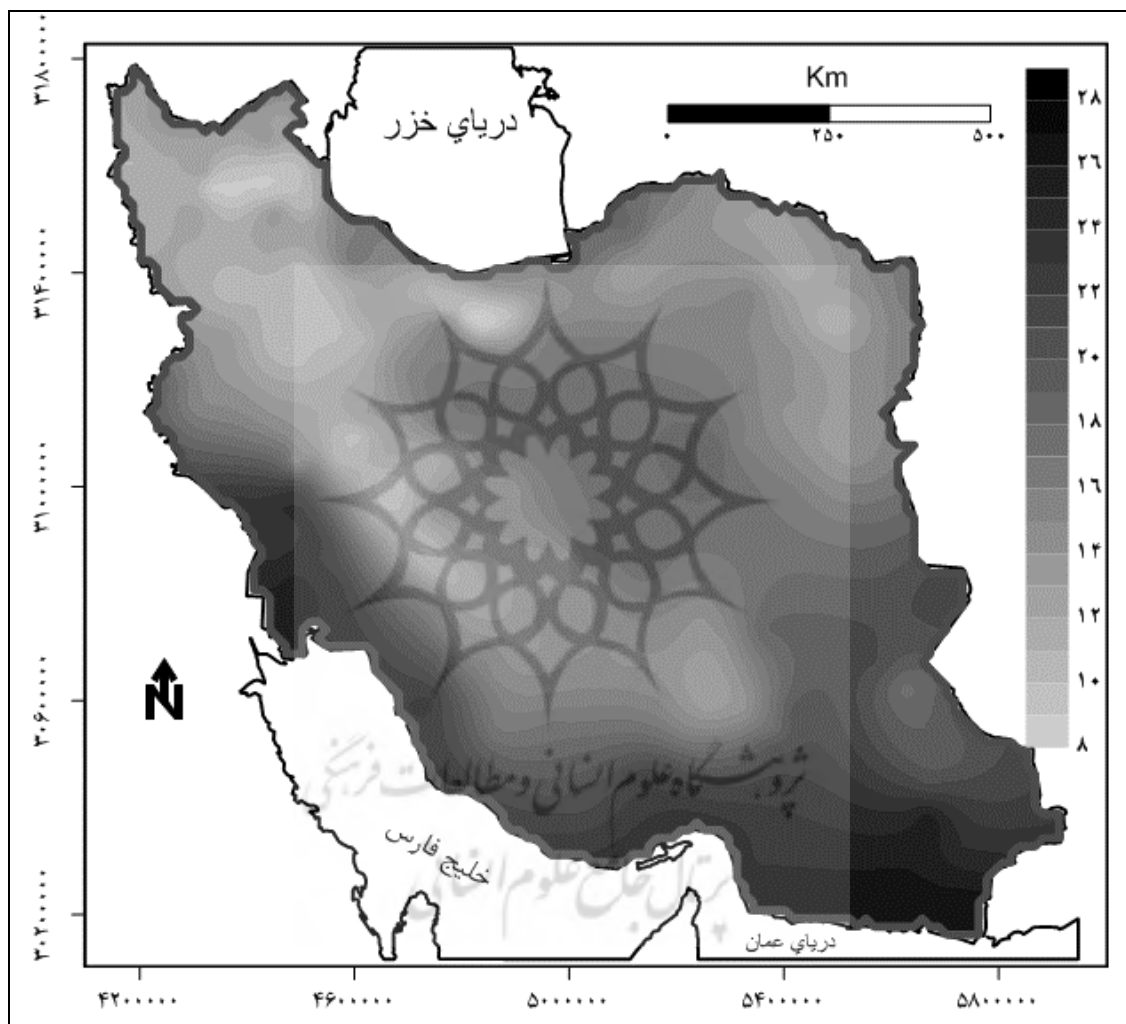
شرایط نوین آب و هوایی در مناطق گستردۀ ای به حاکم شود (Loarier&etal;2009,1052 Williams&etal;2007,5738). برای گونه‌های مختلف گیاهی و جانوری تنها مهیا بودن شرایط آب و هوایی مناسب کافی نیست، بلکه آن‌ها نیازمند تطبیق خود همزمان با جایه‌جایی‌های آب و هوایی اند (Loarier&etal; 2009, 1053). برآوردها نشانگر این است که با اطمینان بسیار بالا تغییرات منطقه‌ای اخیر دما اثرات آشکاری بر سیستم‌های زیست‌محیطی داشته است (IPCC;2007,1). بسیاری از پژوهشگران بر این باورند که واکاوی حساسیت‌های ابر دستگاه آب و هوا بیش از آن است که به سادگی از Katz & brown, 1984; Easterling&etal,2000; Tank & konnen, 2003; Roberson,2004; Kharin & Zwier,2005; Tebaldi& etal,2006) از این رود سال‌های اخیر پژوهش‌های زیادی بر پایه‌ی واکاوی‌های دماهای روزانه‌ی فرین و وردش‌پذیری‌های آن در مقیاس‌های منطقه‌ای و سیاره‌ای انجام گرفته است. واکاوی‌ها در مقیاس سیاره‌ای نشانگر روند افزایشی دماهای بیشینه و کمینه همراه با تفاوت‌های منطقه‌ای اند (Caesar&etal;2006,1). برای نمونه در امریکای جنوبی واکاوی‌ها نشانگر گرمایش کلی در منطقه است (Aguilar;2005,14). هم چنین واکاوی بروندادها نشان می‌دهد که هیچ گونه تغییر پایداری در نمایه‌های مبتنی بر دمای بیشنه وجود ندارد، در حالی که روندهای معناداری در نمایه‌هایی مبتنی بر دمای کمینه‌ی روزانه دیده شده است (Vincent&etal,2005,5012). در اروپا دما در بیشتر مناطق، طی سده‌ی اخیر افزایش یافته است؛ واکاوی‌ها نشان داده است که گرمایش زمستانه در اروپا طی دوره‌ی ۱۹۷۶-۹۹ در بسیاری از ایستگاه‌ها همراه با روند مثبت در شمار امواج گرمایی بوده است؛ اما هیچ گونه روند منفی در شمار امواج سرمایی مشاهده نشده است (Klein Tank&etal,2002). دیگر بروندادها نیز نشانگر گرمایش نظاممند در مقدارهای فرین کمینه و بیشنه‌ی دمای روزانه‌اند (Klein Tank& Können;2003,3665). برونداد واکاوی‌های غرب اقیانوس هند نشانگر گرمایش است، افزایش یکسان میزان میانگین دمای سالانه و دمای شبانه نشانگر این است که تغییرات چشمگیری در دامنه‌ی دمای روزانه رخ نداده است (Vincent;2011,11). در خاورمیانه روندی افزاینده با همگنی مکانی بالا در نمایه‌های دمایی وجود دارد (Zhang&etal;2005,5). در شرق مدیترانه بیشتر روندهای معنادار دمایی، مربوط به فصل تابستان‌اند که دمای فرین کمینه و بیشنه روند معنادار گرمایشی نشان می‌دهند. روند منفی در فراوانی شب‌های سرد در زمستان و به خصوص تابستان دیده شده است (Kostopoulou and Jones, 2005) در کانادا نتایج نشانگر این است که میانگین سالانه‌ی دما در نواحی جنوبی کشور افزایش یافته است و بیشترین افزایش در فصل زمستان و بهار بوده است (Zhang&etal,2000, 425)؛ و کمترین تغییرات در شمار روزهای گرم تابستانی رخ داده است (Bonsal&etal, 2001).

فصل زمستان و بهار همراه بوده است (Yue & Hashino, 2003, 69). در ایران گرمایش سیاره‌ای با روند کاهشی شمار روزهای سرد و روند افزایشی شمار روزهای گرم و کاهش دامنه‌ی دمای روزانه و در نتیجه حرکت دستگاه آب و هوا به سمت شرایط حاره‌ای همراه شده است (رعیت‌پیشه، ۱۳۹۳: ۱۱۰). از این رو برای پژوهشگران گرمایش دستگاه آب و هوایی مسئله‌ای روشن و بدون تردید است، از این رو بعد از شناخت این گونه تغییرات بیشترین تلاش پژوهشگران بر روی چگونگی اثرات این گونه تغییرات بر چیدمان زندگی انسان است. با وجود مشاهدات فصلی و ماهانه‌ی دما و دیگر متغیرهای آب و هوایی که اطلاعات بنیادی را از چگونگی تغییرات آب و هوایی برای ما فراهم می‌آورند، این گونه مشاهدات توانایی به تصویر کشیدن اثرات این تغییرات را ندارند. در سال‌های اخیر نیاز برای اطلاعات بیشتر از اثرات مستقیم این تغییرات منجر به ساخت نمایه‌های آب و هوایی گسترده‌ای شده است. در واقع اینگونه نمایه‌ها توان ساده‌سازی اثرات پیچیده‌ی تغییر آب و هوا را دارند. توانایی اینگونه نمایه‌ها در بازنمایی آستانه‌ی حساسیت دستگاه آب و هوا نسبت به تغییرات است. با وجود اینکه مشاهدات فصلی و ماهانه‌ی دما و دیگر متغیرهای آب و هوایی که اطلاعات بنیادی از چگونگی تغییرات را برای ما فراهم می‌آورند، این گونه مشاهدات توانایی به تصویر کشیدن وردش‌ها در مقیاس‌های خردتر آب و هوای را ندارند. از این رو در این پژوهش نمایه‌ای نوین برای نشان دادن روند گسترده‌ی متأثر از تغییر آب و هوا در ایران با استفاده از داده‌های روزانه معرفی و تغییرات زمانی آن واکاوی شده است.

۲. منطقه‌ی مورد مطالعه

محدوده‌ی مورد بررسی در این پژوهش تمامی ایران را در بر می‌گیرد (25° تا 44° عرض شمالی، و 64° تا 44° طول شرقی). بر طبق پایگاه داده‌ی اسفاراری مقدار میانگین دمای کمینه و بیشینه‌ی ایران به ترتیب ۱۱ و ۲۵ درجه‌ی سانتیگراد؛ و دمای میانگین ایران ۱۸ درجه سلسیوس است که نسبت به میانگین جهانی (۱۵ درجه‌ی سلسیوس) در منطقه‌ی گرمی واقع شده است. دمای میانگین ایران در ۶۲ درصد از مساحت ایران روندی افزایشی نشان می‌دهد. حضور نواحی ناهمواری در غرب ایران و ناهمواری‌های پراکنده‌ی مرکزی نقش مهمی در تعديل دمای ایران ایفا می‌کنند. میانگین مجموع بارش سالانه‌ی این کشور حدود ۲۵۰ میلیمتر است که در مقایسه با مقدار جهانی آن (۹۶۰ میلیمتر) دریافت بارشی اندک دارد. موقعیت و گسترده‌گی ایران زمین از یک سو و تراکم پایین پیمونگاه‌های سنجش دما به ویژه در ارتفاعات ما را بر آن داشته است که به جای داده‌های پیمونگاهی از داده‌های شبکه‌ای استفاده کیم. در این پژوهش داده‌های دمای پایگاه داده‌ی اسفاراری به کار گرفته شده است. تقویم این داده‌ها از ۱۳۴۰/۱/۱ خورشیدی (۱۹۶۱/۵/۲۳ میلادی) تا ۱۳۸۳/۱۰/۱۱ خورشیدی (۲۰۰۴/۱۲/۳۱ میلادی) را شامل می‌شود. داده

های شبکه‌ای دمایی این پایگاه بر اساس دیده‌بانی‌های ۶۲۲ ایستگاه آب‌وهوایی و همدید تهیه شده است. این شبکه با استفاده از روش میانیابی کریجینگ حاصل شده است. در این پایگاه برای هر عنصر آب‌وهوایی شبکه‌ای با بعد 10992×7187 تعریف شده است که در آن سطراها نشانگر یاخته‌های مکانی و ستون‌ها نماینده‌ی زمان (بر حسب روز) می‌باشد. سیستم مختصات این پایگاه داده لامبرت مخروطی هم‌شکل است و بعد هر یاخته 15×15 کیلومتر است^۱



شکل ۱ دمای میانگین ایران بر حسب درجهٔ سلسیوس در هر یک از یاخته‌ها با استفاده از پایگاه داده‌ی اسفزاری

^۱ در ایران پایگاه داده شبکه‌ای برای سنجه‌های هواشناسی نظیر دما، بارش و رطوبت جوی و برخی عناصر آب‌وهوای دیگر توسط مسعودیان تهیه شده است. این پایگاه داده به افتخار آب‌وهوا شناس برجسته ایرانی حکیم ابوحاتم اسفزاری نامگذاری شده است.

۳. مواد و روش‌ها

درک این مسئله، پیش از هر چیز نیازمند به دست آوردن تصویری روشن از ساختار دمایی ایران است. شکل (۱)، نمایانگر دمای میانگین ایران است، همانگونه روشن است بخش زیادی از ایران مقدار دمای بیش از دمای میانگین دارند، نقش تعدیلی نوارهای کوهستانی در این شکل کاملاً مشخص است. و مسئله در اینجا با دانستن اینکه ساختار دمایی در بیشتر یاخته‌ها روند افزایشی دارد روشن‌تر خواهد شد. برای اثبات این ادعا، روند دمای هر یاخته با به استفاده از روش منکدال به دست آمده است که در شکل (۲) به تصویر کشیده شده است. روش آزمون روند مان-کنکال می‌تواند روندها را در سری زمانی بدون نیاز به نرمال‌سازی یا خطی بودن به دست دهد، و به این دلیل توسط سازمان هواشناسی جهانی برای استفاده‌های همگانی توصیه شده است. این روش در سری‌های زمانی هیدرولوژیکی و هواشناسی به شکلی گستردۀ استفاده می‌شود.

در اینجا فرض صفر مبنی بر این است که سری زمانی ($X_{1,2,3,n}$) مستقل است و توزیع متغیرهای تصادفی یکسان است، و فرض ۱، در سری زمانی روند وجود دارد پارامتر آماری، S_0 به صورت زیر توصیف می‌شود:

$$S_0 = \sum_{k=1}^{n-1} \sum_{j=k+1}^n sgn(x_j - x_k)$$

که n طول سری ($n > 40$)، و $j=2,3,\dots,n$ و $K=1,2,3,\dots,n$

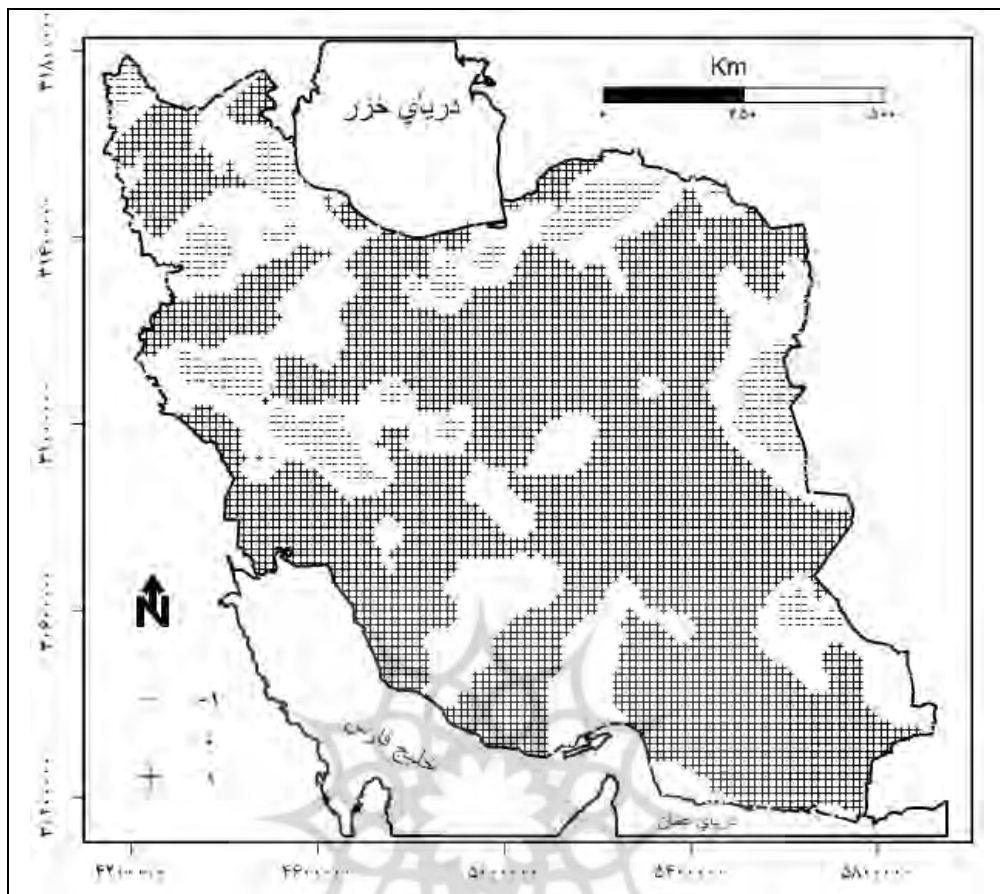
$$sgn(x_j - x_k) = \begin{cases} +1 & (x_j - x_k) > 0 \\ 0 & (x_j - x_k) = 0 \\ -1 & (x_j - x_k) < 0 \end{cases}$$

این ثابت شده است که هنگامی که $n \geq 80$ ، توزیع نرمال با میانگین ۰ و پراش :

$$Var(S_0) = [n(n-1)(2n+1)]/18$$

نمایه‌ی Z استاندار هم از طریق:

$$Z = \begin{cases} \frac{s_0 - 1}{\sqrt{Var(s_0)}} & s_0 > 0 \\ 0 & s_0 = 0 \\ \frac{s_0 + 1}{\sqrt{Var(s_0)}} & s_0 < 0 \end{cases}$$



شکل ۲ روند دمای میانگین در ایران طی دوره‌ی آماری مورد مطالعه

جدول ۱ روند دمای میانگین در ایران

روند مشت	۶۲ درصد
بدون روند	۳۰ درصد
روند منفی	۸ درصد

روند دمایی در ایران روشنگر این واقعت است که طی دوره‌ی آماری بررسی شده، دمای میانگین بیش از نیمی از وسعت ایران در حال افزایش است. با مشاهده‌ی این برونداد و توزیع مکانی آن (شکل ۲) روشن است که دمای بیشتر نواحی داخلی و پایکوهی در حال افزایش است. بدون در نظر گرفتن سرعت این تغییرات، این بدان معناست که نواحی بسیار گرم داخلی دمای بالاتری در آینده‌ی نزدیک خواهد داشت و نواحی کوهپایه‌ای که تعادل خود رو مديون همچواری با ارتفاعات هستند، در سال‌های اخیر به سمت شرایط گرم‌تر در حال حرکت اند. نواحی مرتفع بر ناهمواری‌های غرب و شمال غرب ایران و به صورت پراکنده

در شرق و شمال شرق است روندی منفی نشان می‌دهند. در ۳۰ درصد گستره‌ی کشور که به طور عمده حواشی نوارها یا کوهستان‌ها را در بر می‌گیرد، دما هیچ‌گونه روندی را نشان نداده است.

برای پاسخ گویی به این سوال که افزایش دما با چه سرعتی پیش می‌رود و تغییرات آن در هر دوره چه مساحتی را در بر می‌گیرد؟ سه گام زیر انجام گرفت:

نخست تعریف گرمایش؛ در این پژوهش گرمایش، به عنوان افزایش دما نسبت به میانگین بلند مدت منطقه‌ای تعریف شده است، از آنجا که مبنای داده‌های به کار گرفته شده در این پژوهش یاخته‌ای است، میانگین بلند مدت هر یاخته به عنوان متوسط منطقه‌ای در نظر گرفته شده است، و بالا بود دما از مقدار این میانگین مبنایی برای سنجش گرمایش در نظر گرفته شده است.

در گام دوم برای هر روز تعداد یاخته‌هایی که مقداری بیش از میانگین بلند مدت همان یاخته در همان روز داشته‌اند شمارش شده و درصد تعداد این یاخته‌ها محاسبه گردید.

در گام آخر روند خروجی‌های حاصل از مرحله‌ی دوم واکاوی شد.

در گام نخست برای هر یاخته یک میانگین بلند مدت روزانه محاسبه شد. یعنی برای هر روز یک مقدار میانگین بلند مدت با استفاده از دمای آن روز در طول دوره‌ی آماری به دست آمد (برای نمونه مقدار دمای میانگین اول فروردین حاصل میانگین دمای ۴۳ سال گذشته در این روز است) بدین ترتیب ۳۶۶ میانگین برای هر یاخته به دست آمد، و با توجه به ابعاد مکانی داده‌های مورد استفاده خروجی حاصل آرایه‌ای با ابعاد ۳۶۶ × ۷۱۸۷ است (یعنی برای هر یاخته ۳۶۶ میانگین روزانه به دست آمده است).

پس از آن در گام دوم مقدار دمای روزانه‌ی هر یاخته در ۱۵۹۹۱ روز، یعنی آرایه‌ای با ابعاد ۱۵۹۹۱ × ۷۱۸۷ با میانگین بلند مدت همان روز که در گام اول به دست آمد، سنجیده شد (روزهای اول فروردین با میانگین بلند مدت همان یاخته بودند به دست آمد). مقدار میانگین بلند مدت همان یاخته بودند به دست آمد.

این مراحل برای دمای کمینه، بیشنه و متوسط روزانه به طور جداگانه محاسبه گردید. از آنجا که برونداد این روش درصد مساحتی را که دمای آن در هر روز بالاتر از میانگین بلند مدت هر یاخته است را به دست می‌آورد نمایه‌ی مساحتی^۱ نامیده شده است. و در پایان تغییرات زمانی برونداد به دست آمده در گام پیشین به دست آمد.

در این گام برای انجام آزمون روند دما فرض شده است که دما تابعی خطی از زمان است بنابراین مدل

تغییرات به صورت زیر خواهد بود:

$$Tempreature = a + \beta Time$$

روشن است که یک مقدار مثبت برای β نشانگر افزایش دما با زمان و یک مقدار منقی برای β نشانگر کاهش دما با زمان است برای $\beta = 0$ فرض وجود روند تایید نمی‌شود. اما از انجا که مقدار β نامعلوم است یک برآورد از β با اطمینان ۹۵ درصد از رابطه‌ی زیر به دست می‌آید:

$$\beta \neq t_{0.05} \frac{s}{sx}$$

اگر حد بالا و پایین β که به این ترتیب به دست می‌آیند هر دو مثبت باشند فرض وجود روند افزایش در دما را رد نمی‌کنیم. اگر حد بالا و پایین β هر دو منفی باشند فرض وجود روند کاهشی در دما را رد نمی‌کنیم و اگر حد بالا و پایین مختلف العلامت باشند فرض وجود روند را تایید نمی‌کنیم (مسعودیان، ۱۳۸۳، ۹۲-۹۳).

۴. بحث و نتایج

در این پژوهش ساختار تغییرات دمایی ایران با تاکید بر دمای کمینه و بیشینه (که هر یک نماینده‌ای متفاوت از ساختار حرارتی آب‌وهوا یک منطقه‌ی اند) واکاوی شد. دمای شبانه نتیجه‌ی ترازمندی تابش‌های خروجی و دمای روزانه نتیجه‌ی ترازمندی تابش‌های ورودی است. از سوی دیگر گازهای گلخانه‌ای مانند بخار آب و دی‌اکسید کربن از عوامل اساسی موثر بر ترازمندی تابش‌های خروجی است، در حالی که تابش‌های ورودی به ویژگی‌های تابشی جو از جمله شفافیت جو بستگی دارد. بنابراین دمای شبانه و دمای روزانه از عوامل متفاوتی تاثیر می‌پذیرند و ممکن است رفتار روند آن‌ها با یکدیگر متفاوت باشد. دمای متوسط هر منطقه نیز می‌تواند خلاصه‌ای از ساختار تغییرات و رفتار دما را در طول زمان و مکان مهیا کند. با وجود تمام شواهد مبنی بر افزایش دما در مقیاس سیاره‌ای و منطقه‌ای، این پرسش بدون پاسخ مانده است که آیا مساحتی که هر ساله تحت تاثیر تغییر آب‌وهوا قرار می‌گیرد نیز رو به افزایش است و یا اینکه تغییرات و وردش‌های آب‌وهوایی تنها در مناطق فعالیت خود قوت یا ضعف می‌یابند؟ و در صورت افزایش، مقدار آن چقدر است؟ برونداد محاسبات نشان داد مقدار این نمایه در حال افزایش است. تفاوت تغییرات این نمایه در طول زمان بر روی دمای کمینه و بیشنه شایان توجه است. بررسی روند AI نشان می‌دهد که وسعت قلمروهایی که دمای شبانه‌ی آن‌ها افزایش یافته بیش از قلمروهایی است که دمای بیشینه‌ی آن‌ها افزایش یافته است. نمودار سری زمانی این نمایه نشان می‌دهد که میانگین آن به طور متوسط بیش از ۵۰ درصد مساحت ایران را در دوره‌ی مورد بررسی در بردارد (همواره اندکی بیش از نیمی از گستره‌ی ایران دمای بیش از میانگین منطقه‌ای دارند) هر چند که افت و خیزهای زیادی در سری زمانی دیده می‌شود. به طور کلی روند چشمگیر و معنadar افزایشی در سطح ۹۵ درصد در این نمایه طی سال‌های اخیر دیده می‌شود. مقدار این روند برای متوسط دما ۰/۵۴ در سال است، یعنی در هر سال ۵۴ درصد به مساحت نمایه‌ی AI در ایران افزوده

می شود(شکل ۳). روند این نمایه برای دمای بیشنه $0/0/64$ است (شکل ۴). و دمای کمینه $0/0/64$ است(شکل ۵). بروندادها روشن کننده ای این واقعیت اند که افزایش این نمایه بر اساس دمای متوسط بیش از آن که ناشی از افزایش دمای بیشنه باشد متکی بر افزایش دمای کمینه است که بر اساس پژوهش های گذشته چنان دور از انتظار نیست. در مجموع دمای شبازوی ایران دو درجه در هر صد سال افزایش داشته است. بررسی دمای شبازه ای ایران در پژوهش های گذشته نشان می دهد که در مجموع دمای روزانه ای ایران با آهنگ یک درجه در هر صد سال رو به افزایش بوده است در مقایسه با آهنگ افزایش دمای شبازه روشن می شود که روندهای افزایشی دمای شبازه سه بار قوی تر از آهنگ افزایش دمای روزانه بوده اند . نتیجه آن که افزایش دمای ایران در نیم سده ای گذشته معلول عواملی بوده که خروج تابش های بلند زمینی را کنترل می کرده اند. در عین حال این افزایش همانند دمای شبازه عمدها در مناطق غیر کوهستانی دیده می شود و روی کمرندهای کوهستانی کشور روند کاهش دما دیده می شود(مسعودیان، ۱۳۸۳: ۹۴).

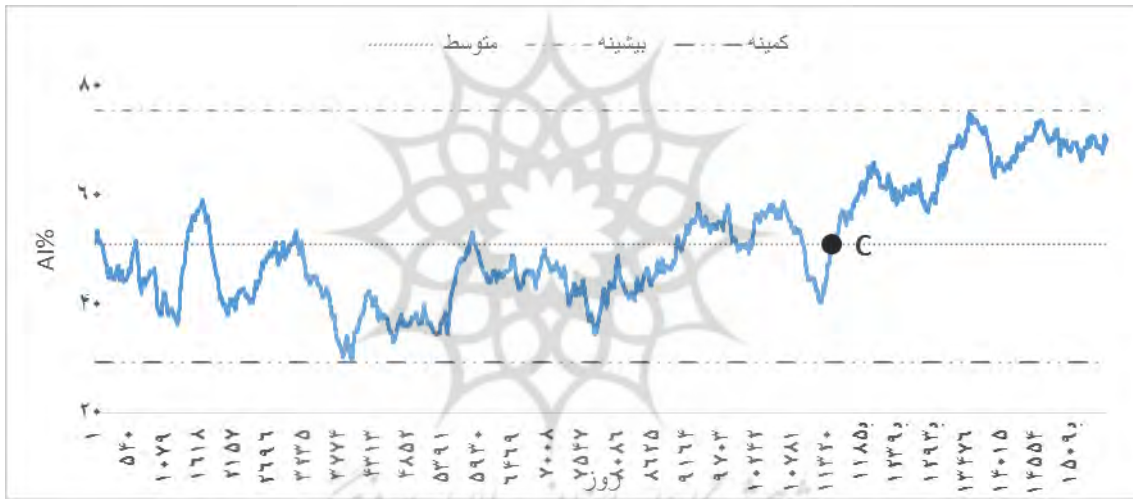
به طور کلی با چیدمان این نتایج و پژوهش های پیشین روشن می شود علاوه بر روند افزایشی دما در طول دوره ای آماری، گستره هایی که دمای آنها بیش از میانگین بلند مدت است نیز روندی پیش رونده دارند. دقت در شکل (۵)، به عنوان اصلی ترین برونداد در این پژوهش واقعیت های زیادی را برای ما روشن می کند، نقطه C در اینجا برای ما یک نقطه ای بنیادین است یعنی جایی که مقدار نمایه افزایش یافته و دیگر بازگشتی به سمت میانگین خود نداشته است. شکل افزایشی آن هم نشان از این دارد که اگر داده های سال های اخیر را هم به آن اضافه کنیم، به احتمال زیاد این روند افزایشی ادامه خواهد داشت. تاخیر این تاریخ برای دمای بیشنه نسبت به دمای کمینه نیز قابل تأمل است (دمای بیشنه در تاریخ ۱۳۷۶/۰۲/۲۰ شروع به افزایش کرده و دیگر بازگشتی در نمودار آن مشاهده نشده و دمای کمینه در تاریخ ۱۳۷۱/۰۲/۱۸).



شکل ۳ مقدار نمایه AI بر مبنای دمای بیشنه



شکل ۴ مقدار نمایه‌ی AI بر مبنای دمای میانگین



شکل ۵ مقدار نمایه‌ی AI بر مبنای دمای کمینه

طی دوره‌های قبل از تاریخ فوق همواره این نمایه دارای افت و خیزهای زیادی بوده است اما این تاریخ آغازگر مرحله‌ای تازه در آب و هوای کشور است که با توجه به آنچه پیش از این در باره‌ی ساختار آب و هوای ایران بیان شد از اهمیت زیادی برخوردار است. روشن است که نوسان همواره بخشی از رفتار ابردستگاه آب و هوای بوده است، اما و عدم بازگشت این گونه نوسان‌ها به میانگین پیشین خود نشانی از تغییر بنیادین دارد. پیشی گرفتن زمان افزایش این نمایه بر اساس دمای کمینه نسبت به دمای بیشینه نیز شایان توجه است. مقدار بیشینه‌ی این نمایه نیز از اهمیت زیادی برخوردار است. چنانچه مقدار آن برای دمای کمینه ۷۶ درصد است که گواه بر این دارد که ۷۶ درصد از مساحت ایران در این تاریخ دمایی بیش از میانگین منطقه‌ای خود داشته‌اند. اگر میزان افزایش این نمایه با همین سرعت ادامه یابد در کمتر از ۵ دهه، گرمایش تمام وسعت

ایران را در برخواهد گرفت. در این پژوهش گرمايش تنها بالابود دمای هر ياخته از ميانگين بلند مدت منطقه‌اي تعریف شده است و مقدار این بالابود در این محاسبه اثري نداشته است، از این رو با توجه به این نکته که مقدار دما نيز در حال افزایش است و چيدمان این مسئله در کنار روند افزایشی AI اهمیت را دوچندان خواهد کرد و نیاز به برنامه‌ریزی‌های سنجیده‌تر در راستای این تغییرات اجتناب‌ناپذیر می‌سازد.

۵. نتیجه گیری

بررسی روند AI نشان می‌دهد که وسعت قلمرو‌هایی که دمای شبانه‌ی آن‌ها افزایش یافته بیش از قلمرو‌هایی است که دمای بیشنه‌ی آن‌ها افزایش یافته است. نمودار سری زمانی این نمایه نشان می‌دهد که ميانگين اين نمایه به طور متوسط بيش از ۵۰ درصد مساحت ايران را در دوره‌ی مورد بررسی در بردارد. به بيان ديگر دمای شبازو زير ايران در حال حاضر يك درجه گرم تر از پنجاه سال پيش شده است . بنابراین افزایش دمای ایران نسبت به ميانگين گرمايش جهانی نزديك دو برابر است با توجه به اين که با افزایش هر يك درجه، مرز برف هاي دائمي در ايران حدود ۱۶۰ متر بالاتر می رود(مسعوديان، ۹۵:۱۳۸۳). دماهای کمینه و بیشنه در جنبه‌های مختلف حیات انسان از جمله کشاورزی و مسائل اجتماعی و زیربنایی اهمیت زیادی دارد و به عنوان آستانه‌های تحريك پذیر برای کلیه‌ی فعالیت‌های مربوط به انسان محسوب می‌شوند از این رو با توجه به تغییر آن‌ها برای سیاست‌مداران و برنامه‌ریزان امری گریز ناپذیر است. در پژوهش‌هایی که پیرامون تغییر آب‌وهوا انجام شده است، روشن است که زیستگاه‌های جانوری و گیاهی بیش از زیستگاه‌های انسانی دست‌خوش این تغییرات‌اند. افزایش ۵۴ درصدی ميانگين AI زنگ خطری است برای زیست بوم‌ها و منابع طبیعی در کشوری چون ايران که ساختار آب‌وهوايی آن، حساسیت این ابردستگاه را فزونی ساخته است. طبق پژوهش‌ای گذشته این تغییرات مناطق کوهستانی را کمتر تحت تاثیر قرار می‌دهد از این رو توجه برنامه‌ریزان برای آينده باید بیشتر به این سمت معطوف شود. اهمیت این مسئله با توجه به تغییر در شدت و مقدار بارش نیز دوچندان می‌شود. به نظر می‌رسد روند افزایشی دما در ايران با محدودتر شدن انباره‌های آبی کشور همراه باشد و با وجود این واقعیت که بارش ايران در مجموع متمرکز است و روند تمرکز آن نیز افزایشی است، کاهش وسعت انباره‌های آبی به معنای تشدید کم آبی در ماه‌های گرم و بدون بارش خواهد بود. از این رو چنین به نظر می‌آيد که آب و هوای ايران رو به سوی آب‌وهواي گرم‌تر و کم بارش‌تر در حرکت است. با توجه به تغییرات دمای کمینه و افزایش آن بیش از دمای بیشنه و در نتیجه کاهش دامنه‌ی دمای روزانه ابردستگاه آب‌وهواي اiran به سمت شرایط حراره‌ای پيش می‌رود.

کتابنامه

- رعیت‌پیشه، فاطمه(۱۳۹۳)، واکاوی وردش‌های آب‌وهای ایران در دهه‌های اخیر، پایان نامه‌ی دکتری، دانشگاه اصفهان، استاد راهنمای دکتر سید ابوالفضل مسعودیان.
- عساکر، حسین، (۱۳۸۷)، کاربرد روش کریجینگ در میانیابی بارش مطالعه موردی: میانیابی بارش ۱۳۷۶/۱۲/۲۶ ایران زمین، جغرافیا و توسعه، ۴۲-۲۵.
- عساکر، حسین، (۱۳۸۶)، تغییر اقلیم، انتشارات دانشگاه زنجان.
- عساکر، حسین، (۱۳۹۰)، مبانی آب‌وهای شناسی آماری، زنجان، انتشارات دانشگاه زنجان.
- مسعودیان، سید ابوالفضل، (۱۳۹۰) آب و هوای ایران، مشهد، انتشارات شریعه‌ی توس.
- مسعودیان، سید ابوالفضل، (۱۳۸۳) واکاوی روند دمای ایران در نیم سده‌ی اخیر، پژوهش‌های جغرافیایی و توسعه، شماره ۶۴، ۳، ۸۹-۱۰۶.

- Aguilar, E., Peterson, T. C., Obando, P. R., Frutos, R., Retana, J. A., Solera, M., & Mayorga, R. (2005). Changes in precipitation and temperature extremes in Central America and northern South America, 1961° 2003. *Journal of Geophysical Research: Atmospheres*, 110(D23).
- Alexander, L. V., Zhang, X., Peterson, T. C., Caesar, J., Gleason, B., Klein Tank, A. M. G., & Vazquez-Aguirre, J. L. (2006). Global observed changes in daily climate extremes of temperature and precipitation. *Journal of Geophysical Research: Atmospheres (1984–2012)*, 111(D5).
- Bonsal, B. R., Zhang, X., Vincent, L. A., & Hogg, W. D. (2001). Characteristics of daily and extreme temperatures over Canada. *Journal of Climate*, 14(9), 1959-1976.
- Caesar, J., Alexander, L., & Vose, R. (2006). Large-scale changes in observed daily maximum and minimum temperatures: Creation and analysis of a new gridded data set. *Journal of Geophysical Research: Atmospheres* 111 (D5), 1-10.
- Dunlop, M., & Brown, P. (2008). Implications of climate change for Australia's national reserve system: a preliminary assessment, Report to the Department of Climate Change, Canberra
- Easterling, D. R., Meehl, G. A., Parmesan, C., Changnon, S. A., Karl, T. R., & Mearns, L. O. (2000). Climate extremes: Observations, modeling, and impacts. *Science*, 289(5487), 2068-2074.
- Folland, C. K., & Co authors, (2001). Observed climate variability and change. In: *Climate change 2001: The scientific basis. Contribution of working group I to the third assessment report of the intergovernmental panel on climate change* (pp. 99° 181). , Cambridge: Cambridge University Press.
- Jones, P. D., Briffa, K. R., Osborn, T. J., Lough, J. M., Van Ommen, T. D., Vinther, B. M., ... & Xoplaki, E. (2009). High-resolution paleoclimatology of the last millennium: a review of current status and future prospects. *The Holocene*, 19(1), 3-49.

- Kharin, V. V., & Zwiers, F. W. (2005). Estimating extremes in transient climate change simulations. *Journal of Climate*, 18(8), 1156-1173.
- Klein Tank, A. M. G., & Können, G. P. (2003). Trends in indices of daily temperature and precipitation extremes in Europe, 1946-99, *Journal of Climate*, 16(22), 3665-3680.
- Klein Tank, A. M. G., Wijngaard, J. B., Können, G. P., Böhm, R., Demarée, G., Gocheva, A., ... & Petrovic, P. (2002). Daily dataset of 20th-century surface air temperature and precipitation series for the European climate assessment. *International Journal of Climatology*, 22(12), 1441-1453.
- Kostopoulou, E., & Jones, P. D. (2005). Assessment of climate extremes in the Eastern Mediterranean. *Meteorology and Atmospheric Physics*, 89(1-4), 69-85.
- Loarie, S. R., Duffy, P. B., Hamilton, H., Asner, G. P., Field, C. B., & Ackerly, D. D. (2009). The velocity of climate change. *Nature*, 462(7276), 1052-1055.
- Meehl, G. A., Zwiers, F., Evans, J., Knutson, T., Mearns, L., & Whetton, P. (2000). Trends in extreme weather and climate events: Issues related to modeling extremes in projections of future climate change. *Bulletin of the American Meteorological Society*, 81(3), 427-436.
- Pearson, R. G. (2006). Climate change and the migration capacity of species. *Trends in Ecology & Evolution*, 21(3), 111-113.
- Rayatpisheh, F. (2015). *The analysis of climate variability over Iran in recent decades*. Unpublished doctoral dissertation, University of Isfahan, Isfahan, IRAN. [(in Persian)]
- Robeson, S. M. (2004). Trends in time-varying percentiles of daily minimum and maximum temperature over North America. *Geophysical Research Letters*, 31, 1-4.
- Solomon, S., Qin, D., Manning, M., Chen, Z., Marquis, M., Averyt, K. B., & Miller, H. L. (2007). IPCC, 2007: summary for policymakers. *Climate Change*, 93-129.
- Tank, A. M. G. K., & Konnen, G. P. (2003). Trends in indices of daily temperature and precipitation, Extremes in Europe, 1946° 99. *J. Clim.* 16, 3665° 3680.
- Tebaldi, C., Hay Hoe, K., Arblaster, J. M., & Meehl, G. A. (2006). Going to the extremes. *Climatic Change*, 79(3-4), 185-211.
- Vincent, L. A., Aguilar, E., Saindou, M., Hassane, A. F., Jumaux, G., Roy, D., & Montfraix, B. (2011). Observed trends in indices of daily and extreme temperature and precipitation for the countries of the western Indian Ocean, 1961° 2008. *Journal of Geophysical Research: Atmospheres* (1984–2012), 116(D10).
- Vincent, L. A., et al. (2005). Observed trends in indices of daily temperature extremes in South America 1960° 2000. *J. Clime*, 18, 5011 ° 5023.
- Williams, J. W., Jackson, S. T., & Kutzbach, J. E. (2007). Projected distributions of novel and disappearing climates by 2100 AD. *Proceedings of the National Academy of Sciences*, 104(14), 5738-5742.
- Yue, S., & Hashino, M. (2003). Temperature trends in Japan: 1900° 1996. *Theoretical and Applied Climatology*, 75(1-2), 15-27.

- Zhang, X., Aguilar, E., Sensoy, S., Melkonyan, H., Tagiyeva, U., Ahmed, N., & Wallis, T. (2005). Trends in Middle East climate extreme indices from 1950 to 2003. *Journal of Geophysical Research: Atmospheres* 110(D22).
- Zhang, X., Vincent, L. A., Hogg, W. D., & Niitsoo, A. (2000). Temperature and precipitation trends in Canada during the 20th century. *Atmosphere-Ocean*, 38(3), 395-429.

